

氧桥双 β -二亚胺钴配合物的合成及结构

陈 霞 魏学红 郭建平 刘滇生*

(山西大学化学化工学院, 太原 030006)

关键词: 合成; β -二亚胺钴; 晶体结构; 配合物

中图分类号: O614.81·2 文献标识码: A 文章编号: 1001-4861(2005)04-0519-04

Synthesis and Crystal Structure of β -diketiminato Co(II) Complex

CHEN Xia WEI Xue-Hong GUO Jian-Ping LIU Dian-Sheng*

(School of Chemistry and Chemical Engineering, Shanxi University, Taiyuan 030006)

Abstract: Treatment of the lithium β -diketiminate $[Li\{N(R)C(NMe_2)C(H)C(NMe_2)N(R)\}]_2$ (**1**) ($R=SiMe_3$) with $KOBu'$, $KOH \cdot H_2O$ and $CoCl_2$ in tetrahydrofuran gave in good yields the RO bridged β -diketiminato Co(II) complex $[Co\{N(H)C(NMe_2)C(H)C(NMe_2)N(R)-(\mu-OR)\}]_2$ (**2**) at ambient condition. The crystal data of (**2**) are as follows: crystal system, monoclinic; space group, $P121/n1$; $a=0.963\ 9(3)$ nm, $b=1.077\ 2(3)$ nm, $c=2.025\ 0(6)$ nm, $V=2.102\ 5(10)$ nm 3 , $Z=2$, $D_c=1.186$ g·cm $^{-3}$, $F(000)=804$, $\mu(Mo K\alpha)=0.934$ mm $^{-1}$, $R_1=0.047\ 8$, $wR_2=0.097\ 9$. In solid state, complex (**2**) is a dimer bridged by RO ($R=SiMe_3$) group and the two Co^{2+} are in distorted tetrahedron. CCDC: 249253.

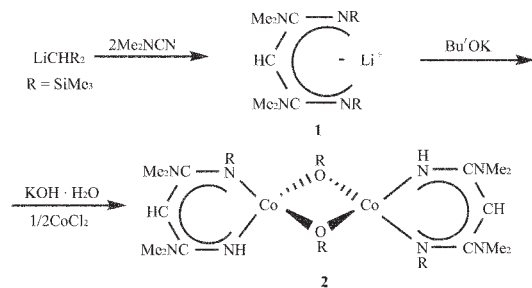
Key words: synthesis; β -diketiminato Co(II); crystal structure; complex

0 引言

亚胺类配位的后过渡金属(如:Ni、Pd、Fe、Co等)配合物,早在二十世纪六十年代就已经用于烯烃聚合催化剂了,但由于后过渡金属有较强的 β -H消除倾向,因而大多数后过渡金属催化剂只适用于烯烃二聚或齐聚,难以得到高分子量的烯烃聚合物。1995年,Brookhart等人报道了Ni、Pd的二亚胺化合物对烯烃的聚合有较高的催化活性,这一发现为烯烃聚合催化剂开拓了一个新的领域^[1~6]。

合成 β -二亚胺配合物的方法很多,例如: β -二酮与一级胺的缩合或 β -二酮转变为缩酮再得到 β -二亚胺^[7];Maraval等用丙二腈做原料与Schwartz试剂及氯化膦采用一锅法制备 N,N' 二膦基 β -二亚胺^[8];Lappert教授与刘滇生教授利用烷基锂与无 α -H的

腈加成反应,发现了合成 β -二亚胺金属化合物的新方法^[9~13]。近年来,我们用(二)三甲基硅基甲基锂与无 α -H的腈反应合成了一系列具有特殊结构的 β -二亚胺的金属化合物^[14,15],但氧桥联的 β -二亚胺钴化合物还未见文献报道。文中所报道的化合物合成路线如下:



收稿日期:2004-06-22。收修改稿日期:2004-11-26。

国家自然科学基金(No.20171030),山西省归国基金(No.),山西省自然科学基金(No.20021010)资助项目。

*通讯联系人。E-mail:dsliu@sxu.edu.cn

第一作者:陈霞,女,39岁,副教授;研究方向:金属有机化学。

1 实验部分

1.1 试剂与仪器

实验采用标准 Schlenk 技术，在氮气保护下进行。乙醚、四氢呋喃、正己烷等溶剂先经钠丝干燥处理，再回流后使用。二甲氨基腈(A.R.级，购于百灵威试剂公司)，无水氯化钴(A.R.级，购于百灵威试剂公司)。二(三甲基硅基)甲基锂参照文献^[10]方法合成。Bruker DDX300 核磁共振仪，Smart CCD X-射线衍射仪。

1.2 配体 $[\text{Li}\{\text{N}(\text{SiMe}_3)\text{C}(\text{NMe}_2)\}_2\text{CH}]_2$ (1) 的合成

在 -78 °C 下，将二甲氨基腈 (0.43 cm³, 5.30 mmol) 用注射器逐滴加入二(三甲基硅基)甲基锂 (0.44 g, 2.65 mmol) 的乙醚 (ca. 20 cm³) 溶液中，搅拌反应 30 min。混合液逐渐恢复至室温，继续搅拌反应 2 h 后，真空抽去溶剂。残余物溶于正己烷中，过滤，滤液浓缩。在 -30 °C 时得到无色的晶体化合物 (1) (0.46 g, 72%)。¹H NMR (298 K, C₆D₆): δ 0.45 (s, 18H, SiMe₃), 2.79 (s, 12H, NMe₂), 4.35 (s, 1H, CH)。¹³C NMR (75 MHz, C₆D₆): δ = 3.48 (s, SiMe₃), 41.32 (s, NMe₂), 83.4 (s, CH) 173.32 (s, CN)。

1.3 $[\text{Co}\{\text{N}(\text{H})\text{C}(\text{NMe}_2)\text{C}(\text{H})\text{C}(\text{NMe}_2)\text{N}(\text{R}-)(\mu-\text{OR})\}]_2$ (2) 的合成

在 0 °C 下，将叔丁醇钾 (0.34 g, 3.02 mmol) 加入

配合物 (1) (0.73 g, 3.02 mmol) 的正己烷溶液中，搅拌 12 h，过滤，将剩余物抽干，得淡黄色固体配合物 $[\text{K}\{\text{N}(\text{SiMe}_3)_2\text{C}(\text{NMe}_2)\}_2\text{CH}]_2$ (1.02 g, 3.02 mmol)，再将含水 16% 的 KOH (0.34 g, H₂O 3.02 mmol) 加到 $[\text{K}\{\text{N}(\text{SiMe}_3)_2\text{C}(\text{NMe}_2)\}_2\text{CH}]_2$ 的 THF (ca. 15 cm³) 溶液中，室温下搅拌反应过夜。将混合液过滤除去生成的一些白色沉淀。在 -78 °C 下，将 CoCl₂ (0.35 g, 2.71 mmol) 加入滤液中，反应液逐渐恢复至室温，搅拌反应过夜。真空抽去溶剂，残余物在室温下 (10⁻² Torr) 干燥一小时后，用二氯甲烷 (ca. 20 cm³) 萃取。将蓝紫色的萃取液过滤，浓缩滤液，在 -30 °C 时得到紫色的晶体化合物 (2) (0.58 g, 59%)。

1.4 晶体结构的测定

选取大小为 0.20 mm × 0.15 mm × 0.10 mm 的化合物 (2) 的单晶，在 Smart CCD-X 射线衍射仪上收集数据。使用经过石墨单色化的 Mo Kα 射线 ($\lambda = 0.071073 \text{ nm}$) 作为入射辐射，在 293(2) K, 2.01° ≤ θ ≤ 26.38° 范围内 ($h: -7 \sim 12; k: -13 \sim 10; l: -25 \sim 25$)，以 ω-2θ 的扫描方式，共收集到 9614 个衍射点，其中 4269 个为独立衍射。结构采用直接法解出，全部非氢原子坐标及各向异性热参数经最小二乘法修正。所有计算用 SHELX-97 程序进行。最终偏离因子 $R_1 = 0.0478$ 。有关的晶体数据列于表 1。

CCDC: 249253。

表 1 配合物 (2) 的晶体学数据
Table 1 Crystal data for the complex (2)

Empirical formula	C ₂₆ H ₆₄ Co ₂ N ₈ O ₂ Si ₄	Crystal system	Monoclinic
Formula weight	751.07	Space group	P2 ₁ /n
Crystal size / mm	0.20 × 0.15 × 0.10	a / nm	0.963 9(3)
Crystal color, habit	Red, chunk	b / nm	1.077 2(3)
Temperature / K	293(2)	c / nm	2.025 0(6)
Reflections collected	9614	β / (°)	90.12(2)
Independent reflections	4 269	V / nm ³	2.102 5(10)
F(000)	804	D _e / (g·cm ⁻³)	1.186
μ(Mo Kα) / mm ⁻¹	0.934	Z	2
R ₁	0.047 8	wR ₂	0.097 9
GOF	0.801		

2 结果与讨论

2.1 配合物 (2) 的合成

利用二(三甲基硅基)甲基锂和二甲氨基腈的加成插入反应并伴随着三甲基硅基的 1,3-碳-氮迁移反应合成得到 β-二亚胺锂配合物 (1)，(1) 和叔丁醇钾在正己烷溶液中反应，使 β-二亚胺锂配合物转化为

β-二亚胺钾配合物，然后加含水 16% 的 KOH 使之在碱性条件下水解，再加入 CoCl₂ 在四氢呋喃中反应，得到较高产率 (59%) 的紫红色晶体状三甲基硅氧基桥联的 β-二亚胺钴配合物 (2)。

2.2 配合物 (2) 的晶体结构讨论

配合物 (2) 的分子结构见图 1，主要的键长、键角分别列于表 2。

表 2 配合物(2)的主要键长和键角

Table 2 Select bond lengths (nm) and bond angles ($^{\circ}$) for the complex (2)

Co(1)-N(2)	0.194 8(4)	Si(1)-N(1)	0.176 0(4)	C(1)-C(2)	0.137 0(6)
Co(1)-N(1)	0.197 0(3)	Si(2)-O(1)	0.162 4(3)	C(1)-N(3)	0.146 2(5)
Co(1)-O(1)'	0.199 7(3)	O(1)-Co(1)'	0.199 7(3)	C(2)-C(3)	0.142 5(6)
Co(1)-O(1)	0.198 8(3)	N(1)-C(1)	0.134 3(5)	C(3)-N(4)	0.137 3(6)
Co(1)-Co(1)'	0.294 04(14)	N(2)-C(3)	0.131 4(5)		
N(2)-Co(1)-N(1)	96.47(15)	O(1)'-Co(1)-Co(1)'	42.32(8)	C(3)-N(2)-Co(1)	126.8(3)
N(2)-Co(1)-O(1)'	119.24(14)	O(1)-Co(1)-Co(1)'	42.56(8)	N(1)-C(1)-C(2)	129.0(4)
N(1)-Co(1)-O(1)'	117.80(13)	Si(2)-O(1)-Co(1)'	128.83(16)	N(1)-C(1)-N(3)	113.2(4)
N(2)-Co(1)-O(1)	113.84(15)	Si(2)-O(1)-Co(1)	135.74(17)	C(2)-C(1)-N(3)	117.8(4)
N(1)-Co(1)-O(1)	126.86(13)	Co(1)'-O(1)-Co(1)	95.12(12)	C(1)-C(2)-C(3)	128.1(4)
O(1)'-Co(1)-O(1)	84.88(12)	C(1)-N(1)-Si(1)	119.3(3)	N(2)-C(3)-N(4)	120.5(5)
N(2)-Co(1)-Co(1)'	127.22(12)	C(1)-N(1)-Co(1)	118.6(3)	N(2)-C(3)-C(2)	120.5(4)
N(1)-Co(1)-Co(1)'	136.24(11)	Si(1)-N(1)-Co(1)	122.08(19)	N(4)-C(3)-C(2)	118.9(4)

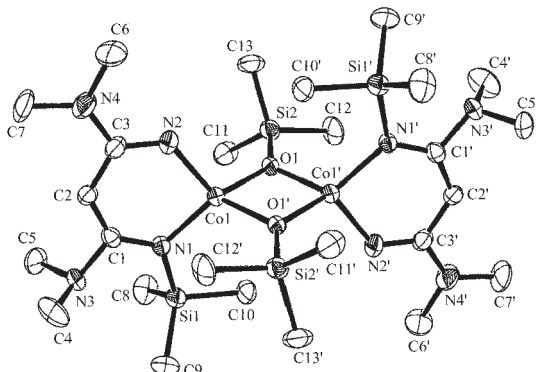
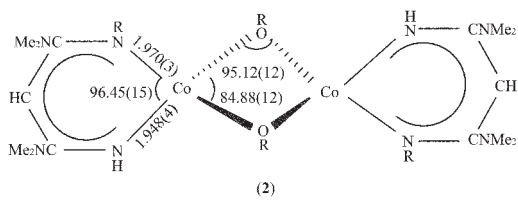


图 1 配合物(2)的分子结构图

Fig.1 Molecular structure of the complex (2)

配合物(2)具有中心对称结构, 中心原子钴为四配位, β -二亚胺作为双齿配体提供两个氮原子和两个氧桥原子配位, 形成了扭曲的四面体结构。Co1, O1, Co1', O1' 四个原子位于同一个平面, 该平面与 β -二亚胺配体平面(稍有扭曲)的二面角为 96°。在 Co1-O1-Co1'-O1'形成的中心四元环中, 氧原子内角[95.12(12)°]要大于钴原子内角[84.88(12)°]。



由图 2 可看出, Co1-N1 和 Co1-N2 的键长分别为 0.197 0(3) 和 0.194 8(4) nm, 较类似的未水解的 β -二亚胺钴配合物(A)中的 Co1-N1 和 Co1-N2 键长短[0.200 7(6) 和 0.199 4(7) nm], 而较完全水解的 β -

二亚胺钴配合物(B)中的 Co1-N1 和 Co1-N2 键长长[0.186 3(3) 和 0.185 6(2) nm]^[16]; 化合物(2)的 N1-Co1-N2 键角 96.47(15)° 较化合物(A)的 N1-Co1-N2 键角小[103.0(2)°], 而较化合物(B)的 N1-Co1-N2 键角大[89.9(1)°]。从上述数据的比较中可知, 配位原子 N 上所连基团不同对化合物(2)、(A)和(B)的影响也不同, 位阻大的基团使得配位原子与中心原子的键长加长、键角增大, 使其结构趋于稳定。

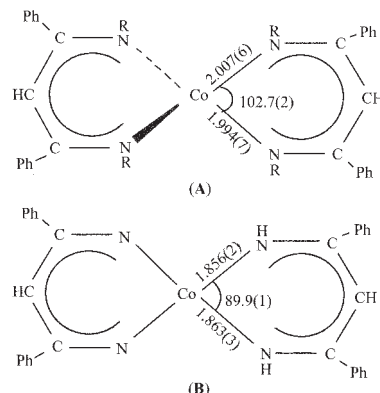
图 2 配合物(2)与相类似的 β -二亚胺钴配合物(A)和(B)的结构比较

Fig.2 Structural comparison of complex (2) with the related complexes (A) and (B)

参考文献:

- [1] Britovsek G J P, Gibson V C, Kimberley B S. *J. Chem. Soc. Chem. Commun.*, 1998, 7:849~850
- [2] ZHANG Dao(张道), LIU Chang-Kun(刘长坤), JIN Guo-

- Xin(金国新). *Fenzi Cuihua(Molecular Catalysis)*, **2002**,**16**(5):390~399
- [3] Svejda S A, Bookhart M. *Organometallics*, **1999**,**18**:65~74
- [4] Rachita M J, Huff R L, Bennett J L, et al. *J. Polym. Sci., Part A: Polym. Chem.*, **2000**,**38**:4627~4640
- [5] Laine T V, Piironen U, Lappalinen K. *J. Organomet. Chem.*, **2000**,**606**:112~124
- [6] Tohi Y, Masui S, Fujita T W. *Patent Application* 9965952, 16 Jun, **1998**.
- [7] Mcgeachin S G. *Can. J. Chem.*, **1968**,**46**:1903~1912
- [8] Maraval A, Arquier D, Igau A, Coppel Y, et al. *Organometallics*, **2001**,**20**:1716~1718
- [9] Hitchcock P B, Lappert M F, Liu D S. *J. Chem. Soc. Chem. Commun.*, **1994**:2637~2638
- [10]Hitchcock P B, Lappert M F, Liu D S. *J. Chem. Soc. Chem. Commun.*, **1994**:1699~1700
- [11]Hitchcock P B, Lappert M F, Liu D S. *J. Organomet. Chem.*, **1995**,**488**:241~248
- [12]Hitchcock P B, Lappert M F, Liu D S, et al. *J. Chem. Soc., Dalton Trans.*, **1999**:1263~1269
- [13]Hitchcock P B, Lappert M F, Layh M, et al. *J. Chem. Soc., Dalton Trans.*, **2000**:2301~2312
- [14]Chen X, Du C X, Guo J P, et al. *J. Organomet. Chem.*, **2002**, 655:89~95
- [15]Chen X, Wang L, Huang S P, et al. *Acta Cryst.*, **2004**,**E60**: o473~o475
- [16]Laurence B M, Lappert M F, Severn J R. *Chem. Rev.*, **2002**, **102**:3031~3065